Fig. 4. Relation between end point C and  $\Delta C$ .

2鋼種とともに溶銑 Si の増加により終点 C% は低下する傾向がみられるが、これは溶銑 Si の増加により吹鍊初期に急激な温度上昇が起り脱炭速度が促進されることを示すものと考える。また高石灰配合、低圧吹鍊によるB鋼種の勾配がA鋼種の勾配より少ないことから、鋼滓量および吹鍊圧力の影響も大きいことが判る。

### iii) 溶銑 Si% の相違による終点 C% の変化

連続せるチャージを 2ch 選定し、一方のチャージの溶銑はそのままの状態で使用し、他方のチャージの溶銑は溶銑鍋の中に Fe-Si を添加することにより前者の溶銑 Si% より 0.10% 高くした状態で使用し、この両チャージを同一酸素使用量で吹鍊した場合、両チャージの終点 C% にいかなる差が生ずるかを示したものが Fig. 4 である。図中の  $\Delta C\%$  は高 Si% 溶銑使用チャージの終点 [C] % から低 Si% 溶銑使用チャージの終点 [C] % を引いた値である。図より溶銑 Si の高いチャージが例外なく終点 C は低い値を示し、更にこの差は同一鋼種では終点 C を高く吹きとめた時ほど著しい。

この関係も A・B 鋼種を比較することにより高石灰配合、低圧吹鍊の場合 (B 鋼種) は、差の表れ方が高炭側

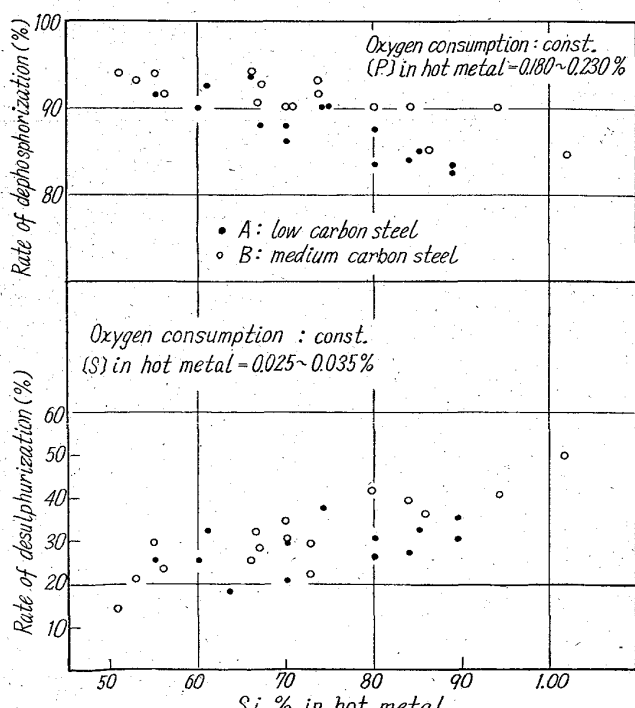


Fig. 5. Relation between Si% in hot metal and dephosphorization and desulfurization.

にずれることが判る。

### IV. 溶銑 Si% と脱焼率、脱硫率との関係

Fig. 5 に示す如く溶銑 Si の増加に伴ない脱焼率は低下、脱硫率は上昇する傾向がある。

溶銑 Si が高い場合の鋼浴の急激な温度上昇と激しい脱炭反応が脱硫にはプラス、脱焼にはマイナスとして働くものと考えられる。しかし脱焼については溶銑 Si の増加に対する焼石灰の增量が少なく、塩基度が若干低下する他、萤石使用量が一定であるため鋼滓の増加に伴ない流动性は低下する傾向がありこの影響も無視できない。

### V. 溶銑 Si% と製鋼歩留の関係

溶銑 Si が低い場合には、石灰の鋼滓化の遅れや鋼滓量の少ないとにより鋼滓による溶鋼の被覆作用が低下するため、物理的な地金飛散による歩留低下があり、また逆に溶銑 Si が高い場合には、鋼滓量増加による鋼滓中の鉄損失の増加により矢張り歩留が低下している。

### IV. 結 言

1) 溶銑 Si% が高い場合は、脱炭が促進され同一酸素使用量では終点 C は低い値となる。また鋼滓量の増加および低圧吹鍊は、この溶銑 Si% の影響を打ち消す方向に働く。

2) この溶銑 Si% の終点 C におよぼす影響度は、終点 C% を高くとめる時程大きく表われる。

3) 溶銑 Si% が高い程脱硫率は向上し、脱焼率は低下する傾向がある。

4) 溶銑 Si% が高い場合も低い場合もその原因は異なるが製鋼歩留は低下する。

なお、脱焼率に対しては鋼滓塩基度および流动性の影響があり、脱硫率については溶銑 Si% の低い場合は一般に溶銑温度が低く、ソーダ灰脱流を行なつたときの混銑炉滓が混入しがちであるため、転炉内での復硫などの問題があり脱硫率が悪くなっているが、これは今後の検討課題である。

*669, 184, 244, 66 : 669, 141,*

241.4

### (64) 水江転炉における低窒素リムド鋼溶製の基礎条件の研究

(純酸素上吹き転炉製鋼法における  
窒素の挙動について—II)

日本钢管技术研究所 63254

○川上 公成・藤井 隆  
〃 水江製鉄所 岸田 正夫

Fundamental Consideration About the Melting of Low Nitrogen Rimmed Steel at Mizue LD Plant.

(Behavior of nitrogen in oxygen converter steelmaking—I) / 1380 ~ 1382

Kiminari KAWAKAMI, Takashi FUJII  
and Masao KISHIDA.

### I. 緒 言

すでに述べたように<sup>1)</sup>、純酸素上吹き転炉製鋼法においては、鋼溶反応は激しい脱炭反応の結果発生する多量